

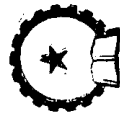
機械圖說

別茲 謝里尼 著

機械工業出版社

機械原理及應用

別茲魏謝里尼著
任世鐘、張啓先、喻懷正譯



機械工業出版社

1957

出 版 者 的 話

本書系根據國立哈爾科夫大學出版部(Издательство харьковского государственного университета)出版的別茲維謝里尼(Е. С. Безвешельный)著《機械原理圖冊》(Атлас по теории механизмов и машин)1954年版譯出。原書是一本教學參考書，它包括了蘇聯高等教育部批准的機械類和非機械類機械原理教學大綱中最主要的一些章节。

本書由兩部分組成：1.計算與圖作業，2.課程設計。本書對鍛接聯杆機構、齒輪機構、凸輪機構和各種實用複合機構的設計和研究闡述得很詳細，并附有作業說明圖118張(因開本關係，各圖均縮小1/20)。

本書可作為高等工業學校機械類和非機械類專業的教學參考書，也可供工人員參考之用。

本書由任世鑑、張啓先、喻懷正譯出，并由張啓先校閱。

NO. 1342

1957年8月第一版 1957年8月第一版第一次印刷
850×1168¹/16 字數224千字 印張16¹/4 0,001—3,000册

機械工業出版社(北京東交民巷27號)出版
機械工業出版社印刷厂 印刷 新華書店發行

北京市書刊出版業營業許可證出字第008號

定價(10)3.00元

目 次

著者的話	4
引言	5

第一部分 計算制圖作業

第一章 联杆機構的運動研究及設計	7
第二章 联杆機構的受力計算。機械組合中飛輪轉動慣量的確定	27
第三章 移動副機構的研究	44
第四章 齒輪機構的研究及設計	48
第五章 凸輪機構的運動的及動力的研究及設計	74

第二部分 課程設計

引言	89
設計 I . 水平傳送材料用的運輸機中聯杆及凸輪傳動機構的設計	91
設計 II . 牛頭刨床機構的設計	113
設計 III . 牙床式壓碎機（碎礦機）機構的研究	122
設計 IV . HKM3臥式鍛造機機構的研究	126
設計 V . D-4型半自動印刷機機構的研究及設計	128
參考文獻	137
中俄名詞對照表	138
附錄（圖）	

著者的话

苏联共产党第十九次代表大会关于苏联发展第五个五年计划

(1951~1955年)的指示規定，要在大大改进新机械质量的条件下減輕它們的重量。由于这个緣故，机械原理課程設計的重要任务之一，就是要解决研究机构和机械的最新範圍时的一些迫切問題，例如：研究現有机構以期有所改进；設計新的或是略有改变的、生产能力更高的、效率更高的、重量小的和經久耐用的机構和机械。

机械原理的計算制圖作業和課程設計跟听课同时进行，它們不仅是學習机械原理的一个重要阶段，和使知識巩固与深入的方法，并且在培养具有高度熟練技术的苏联工程师的事業中，是主要途径之一。

机械原理的計算制圖作業在第四或第五學期內完成，而机械原理課程設計是未来專家第一个綜合性的工程課題。正因为如此，在学生开始專業化时，非常重要的事情就是要養成他們獨立地和在技术上正确地作好自己作業的習慣。

用半小时的时间花在三大張 $a1$ 号圖紙的計算制圖作業的輔导上，显然是不够的。根据指导計算制圖作業的經驗，我们知道，学生往往在輔导时还問到关于图形布置方面的問題，这样也就把一些非原則性問題拿來浪费了自己的時間，并加重指導教師的負擔。

为了尽可能減輕学生和指導教師的負担，同时也減少時間上的無謂損失，我們得出結論，有必要編一本包括課程最主要章节作業样張的圖冊。这一圖冊应当加强学生对所学課目的兴趣，提高他們的知识和扩大眼界，同时縮短完成作業的時間并改进作業質量。

* 圖冊由兩部分組成：1. 計算制圖作業。2. 課程設計。
在圖冊中根据各种数据闡明銳接联杆机構、齒輪机構、凸輪机構和复合机構等的設計与研究，同时也附有計算說明書和制圖作業做

好的样張。

大多数机構取自各个工业部門所使用的现代机構，这些工业部門包括有矿山机械制造、机床制造、机車制造、掘土机制造和紡織机械制造等。最詳細的是第一章，闡明联杆机構运动研究的問題；完成于这一題目的課題，要花费学生比較多的時間。

圖冊中反映出苏联机械原理学派的科学研究工作，这个学派是基于十九世紀末和二十世紀初許多俄国卓越科学家的成就發展起来的。

本圖冊是一本教学参考書，它包括了苏联高等教育部批准的機械制造和其他專業机械原理教学大綱中最主要的一些章节。

本圖冊的兩部分可供：

- 1) 进行机械原理課堂練習时用；
- 2) 进行机械原理計算制圖作業和課程設計时用；
- 3) 專業教研組作畢業設計和課程設計时用。

編輯本圖冊时，著者部分地利用了在莫斯科高等技术学校、莫斯科化学机槭制造学院、莫斯科航空学院、哈尔科夫航空学院、哈尔科夫矿业学院和其他高等学校中在完成計算制圖作業方面的經驗。

著者在編輯圖冊时承技术科学副博士柯斯秋克(Д.И.Костюк)副教授給予極寶貴的指示并校閱作業，列溫松(Л.Б.Левенсон)、噶符利連柯(В.А.Гавриленко)、柯席符尼柯夫(С.Н.Кожевников)、烈歇托夫(Л.Н.Решетов)等教授、埃杰尔施切英(Б.В.Эдельштейн)和柯联尼雅柯(А.С.Кореняко)兩副教授提出意見，謹表示深切的謝意。

意見請寄：Харьков，20，Квиткинская ул. 37，Е. С. Безвесьльному。

引言

偉大的十月社会主义革命，为在我国建立强大的工业，并且特别是它的最主要部門——机械制造业，开辟了广阔的前途。机械制造业在苏联国民经济的技术装备中起有主导的作用。它的进一步发展和繁荣是加强我们祖国实力的必要条件。

在战后的年代里，机械制造业不仅赶上了战前的生产水平，并且在許多机械——拖拉机、打谷机、拖拉机犁、掘煤机、刮板式运输机和其他一些机械的生产量上，超过了战前。此外，还掌握了許多新机械的生产——狄塞尔内燃机車、高压渦輪、深矿渦輪、深矿井用的起重机和走动掘土机等。

第十九次党代表人会关于苏联發展第五个五年计划的指示規定：

- a) 对综合机械化和特別是对最繁重的工作过程，要更广泛地采用最新的机械和机构；
- 6) 进一步发展生产过程的自动化、机械化和强化；
- b) 在五年期间机械制造业和金属品制造業产品的生产量大約增加到兩倍；
- r) 在更大規模上發展有关水渦輪、蒸汽渦輪、船舶、精密机床、軋鋼机、重型压鍛机、大載荷狄塞尔式和煤气發生爐式汽車等方面生产。

在这些任务中，机械原理的作用还要更为加大。

1951年9月底，以奥尔忠尼啓则命名的烏拉尔机械制造厂制造出普通的走动掘土机 [ЭШ14/65]。这种掘土机的掘斗容积是14公尺³，臂長65公尺，可以代替7000个掘土工人，在一晝夜中挖掘10000公尺³的土并移开120公尺远的距离。走动掘土机，在我国是最通俗的机械，是苏联人民和平的社会主义劳动的鮮明标志。

言

在苏联已經制造出一些掘土机，其掘斗容积为18及25公尺³，又臂長达65公尺甚至更多一些。它們將要开辟灌溉用的运河路綫，来消灭旱災和旱風，把我們整个国家变成一个繁荣的花园。

此外，苏联的設計家們創造了强有力掘土机，25吨的自卸卡车，功率达150000仟瓦的汽渦輪等等。

現代机械制造的基本趋向是高生产率、高速、大马力、精确和自動化。因此，现代机械制造需要采用完善的和复杂的机构。苏联的技術正朝着快速地和一往直前地提高机械的速度，加大單位載荷、工作压力及溫度的方向發展前进。

現时已有：高頻电流的电动机，其轉速达每分鐘12万轉；每小时500公里速度的汽車；每小时200公里速度的火車；每分鐘6000轉的車床；每分鐘15000轉的銑床；每分鐘80000~100000轉的鑽床和磨床。

許多机械之能否达到高速，在頗大的程度上决定于支承軸运轉的滾珠或滾柱轴承的坚固性，决定了轉动零件的平衡質量及空氣的阻力。高速机械和机构比低速的便宜、輕，并且生产力大。因此它们的轉速一年年在提高。

近年来气渦輪技术以及化学与医学在这方面得到了巨大的成就。

苏联科学家在有关高速問題的理論研究上是先进的。提起火箭运动概念的創始人柯西奧爾柯夫斯基 (Э. К. Циолковский) 和我們許多其他的研宄家和設計家是足够証明这一点的。

俄国机构原理学派始創于十九世紀末叶。切貝歇夫(П. П. Чебышев, 1821~1894)要算是它的奠基者，他的無數著作說明他是最卓越的科学家。从創始到現在，俄国机构原理学派造就了大批的杰出科

学家，他們的著作被認為是經典的著作。在应用力学的發展上，有巨大的功績應屬彼得羅夫(Н. П. Петров)——液体动力學模擬理論的創始人；魏施費格拉德斯基(И. А. Вышнеградский)——調節理論方面的專家；茹柯夫斯基(Н. Е. Жуковский)——〔俄羅斯航空之父〕，他寫過許多有關機械原理的卓越著作；還有其他的一些人。

機構原理奠基者的工作由我們時代里卓越的科學代表人繼承下來并加以發展，這些人中間必須提出的是：阿蘇爾(Л. В. Ассур)，恰普婁庚(С. А. Чаплыгин)，密爾察洛夫(Н. И. Мерцалов)，郭利雅奇庚(В. П. Горчакин)，勃魯叶維奇(Н. Г. Бруевич)，阿爾托鮑列夫斯基(И. И. Артоболевский)，陀勃羅沃里斯基(В. В. Доброловский)，巴藍諾夫(Г. Г. Баранов)，馬葉欽(А. П. Матышев)，斯米爾諾夫(Л. П. Смирнов)和其他一些人。

在建設共产主義的時代，智力勞動與体力勞動之間的差別在我國日益消除，科學和生產的合作日益巩固。馬克思列寧主義教導我們：科學和實踐的統一是一進步的強大源泉。科學和實踐若沒有密切的聯繫，科學就不能解決擺在我們面前的問題。偉大的俄國科學家們認為理論與實踐相結合具有重大意義。

切貝歇夫院士在自己的一篇著作中說道：「理論與實際相結合將得到最良好的效果；不仅實際由此得益，科學本身也在它的影響下得到發展，它給科學揭露出新的研究對象，或是早已知道的對象的新的一面。」阿蘇爾教授寫道：「只有那種能夠給實踐指出道路的理論，才能有權說得上有科學意義。」科學和生產的合作在我國日益巩固。在這個基礎上，各種教學的和科學研究的工作都應當發展起來。

第一部 分 計 算 制 圖 作 業

第一章 联杆機構的运动研究及設計

联杆機構在机械制造和仪表制造中是应用得極其广泛的。在目前的机械原理課程中，研究機構时最常采用的方法是圖解法。在研究最簡單的機構時則用分析法。

由于所得結果的多值性，要用精确的數學方法來研究复杂機構，在实际上是不可能的。在这种情形下，就可采用切貝歇夫的既科学又合乎工程师應用的方法，借此改进圖解所得的近似結果，而達到預定的精确程度。

联杆機構分为平面的和空間的兩类。主要由于农業機械制造的發展，我們才开始从事空空間機構的計算。空空間機構在农業機械制造中已經有了广泛的应用。

目前空空間機構在机械制造的各个部門中都在应用。空空間機構要在投影几何的基础上進行研究。

使機構产生的运动接近于給定的运动規律是运动設計的基本問題。在給定機構的原動件和从動件的运动規律的同时，也給定所設計機構的簡圖。

在本章中主要是研究平面联杆機構，仅在个别情况下才研究一些复合機構，例如联杆-齒輪和最简单的空空間機構等。在这里和以后各章一样，我們主要遵循機構的組成-構造分類，并在某些情形下指出其用途。在計算說明書中除了这样分类以外，我們还利用阿苏尔教授和阿尔托鮑列夫斯基院士的組成分類法对機構进行分类。

在对含二支組的機構进行运动研究时，采用速度圖解、加速度圖解和运动圖解等一般方法。

含三支組及四支組的機構也用同样方法作运动研究，不过要利用阿苏尔特殊点和虛拟位置。

定機構各机构的位置时按交迹法和样板法进行。

在第30張圖中是采用分析法来解最簡單的問題。設計新的機構簡圖时，利用按已知速度变化函数 ψ 來綜合設計的方法（巴藍諾夫法）和按已知从动件的理想加速度圖線的函數近似的經驗方法。

下面列出本章中所用的主要符号，以及摘自理論力学和機械原理教程的一些最常用的公式。

機構的組成

編號	符 号	名 称
1	W	能动度
2	n	能动件數目
3	k	机件总数
4	$p_1, p_2, p_3, \dots, p_f$	1級、2級等等运动副的数目
5	H	运动鏈的自由度數
6	$1, 2, 3, \dots, k, \dots, n$ $(1, 2), (2, 3), \dots, (A, B, C, \dots)$	机件号码
7	I_{AB}, l_{AB}	运动副
8	I_2, l_2	机件上的点
9	$X_X, Y_Y, Z_Z,$ X, Y, Z	机件上点 A 和 B 之間的距离
10	I_2, l_2	机件 2 的長度
11	$X_X, Y_Y, Z_Z,$ X, Y, Z	直綫导路 XX, YY, ZZ 的坐标
12		

机械的运动学

7. $\bar{W}_a = \bar{r}A$ 时的加速度圖解比例尺

8. 曲線在 K 点的曲率半徑

$$\mu_w = \mu_e \omega^2$$

$$\rho_k = \frac{\nu^2}{\mu_r n}$$

$$S = r(1 - \cos \varphi) + \frac{r^2}{2L} \sin^2 \varphi$$

$$V = r\omega \left(\sin \varphi + \frac{r}{2L} \sin 2\varphi \right)$$

$$W = r\omega^2 \left(\cos \varphi + \frac{r}{L} \cos 2\varphi \right)$$

$$\omega_2 = \omega_1 \frac{\cos \alpha}{\sin^2 \varphi_1 + \cos^2 \varphi_1 \cos^2 \alpha},$$

式中 α 是軸的交角, 又 ω_1 = 常数

9. 过軸式曲柄-連杆機構中滑塊的位移
(距離), 速度与加速度

$$V = \frac{ds}{dt} = \frac{dr}{dt} \sin \varphi$$

$$W = \frac{dV}{dt} = \frac{dr}{dt} \left(\frac{d\varphi}{dt} \right)^2 + \frac{r}{L} \sin 2\varphi$$

10. 万向軸節機構中从动件的角速度

迴轉運動

$$\omega = \frac{d\varphi}{dt}$$

以公尺/秒為單位的圓周速度

$$V = r\omega$$

在等速轉動時

$$V = \frac{s}{t} = \text{常數}$$

以秒⁻²為單位的角加速度

$$\epsilon = \frac{d^2\varphi}{dt^2} = \frac{d\omega}{dt}$$

以公尺/秒²為單位的切向加速度

$$W_t = r\epsilon = \frac{dV}{dt}$$

法向(向心)加速度

$$W_n = \sqrt{(W_t^2 + (W_r^2)} = \frac{V^2}{r}$$

合加速度

$$W = \sqrt{(W_n^2 + W_t^2)} = \sqrt{\epsilon^2 + \omega^4}$$

迴轉(附加)加速度(哥氏加速度)的模

$$W_{附加} = 2V_{相對} \cdot \tan \alpha$$

附注: 在圖上所用的長度、速度和加速度比例尺适合于 a3 号紙的小, 是根据內容布置的方便而选定的。在 a1 号紙上画圖時比例尺大約小一半。当選擇比例尺的時候为計算方便計, 宜可用簡單的數目, 例如: $\mu_v = 0.02; 0.05; 0.1; 0.4; 1; 2; 3; 4; 5; \dots$ 公尺·秒⁻¹/公里。

編號	符 号	單位(因次)	名 称
1	e	公尺, 公厘	偏距
2	r_1, r_2, \dots	公尺, 公厘	曲柄(机件)的半徑
3	S	公尺, 公厘	位移(距离)
4	V	公尺/秒	速度
5	W	公尺/秒 ²	加速度
6	Φ	弧度, 度	轉角
7	ω	弧度/秒	角速度
8	$\dot{\theta}$	弧度/秒 ²	角加速度
9	$\mu_r n$	公尺/秒 ²	法向加速度
10	$\mu_r t$	公尺/秒 ²	切向加速度
11	μ_s	公尺/公厘	位移比例尺
12	μ_v	公尺·秒 ⁻¹ /公厘	速度比例尺
13	μ_a	公尺·秒 ⁻² /公厘	加速度比例尺
14	μ_e, μ_e	公尺/公厘	長度比例尺
15	n	轉/分	每分鐘轉數
16	ρ_k	公厘	曲線在 K 点的曲率半徑
17	T	秒	機械的運動周期
18	\bar{T}	公厘	機械運動周期按比例尺在圖上表出的長度
19	$\bar{S}, \bar{V}, \bar{W}$	公厘	位移、速度、加速度按比例尺在圖上表出的長度
20	k_1, k_2	公厘	極距
21	V_a, V_A	公尺/秒	A 点的速度
22	W_a, W_A	公尺/秒 ²	A 点的加速度

机械原理和理論力学教程中的公式

$$1. 三點平面機械的能動度。切貝歇夫公式$$

$$W = 3n - 2p_5 - p_4$$

$$2. 機械的運動周期$$

$$T = \frac{60}{n} \text{ (秒)}$$

$$3. 時間比例尺$$

$$\mu_t = \frac{T}{T'}$$

$$4. 圖解微分時的速度比例尺$$

$$W = \frac{\mu_s}{\mu_t k_1}$$

$$5. 圖解微分時的加速度比例尺$$

$$\mu_w = \frac{\mu_v}{\mu_t k_2}$$

$$6. \bar{V}_a = \bar{r}A \text{ 时的速度圖解比例尺}$$

$$\mu_v = \mu_e \omega$$

第 1 張 导杆作直綫移动的機構的运动研究

在第 1 張圖中所画的导杆機構是連杆長度 $L = \infty$ 的轉化的曲柄-連杆機構。直綫導杆(机件 3)作簡諧移动: $S = r(1 - \cos \varphi)$, $V = r\sin \varphi$ 和 $W = r\omega^2 \cos \varphi$ 。

在第 1 張圖中所提出的作業, 是用圖解法来研究导杆的运动。

研究用的已知数据:

$$r = 120 \text{ 公里}; n = 150 \text{ 轉/分}; \omega = \text{常数}.$$

作業进行的程序如下:

1. 确定机构的 12 个位置。

2. 作出导杆的位移圖線 $S = S(t)$ 。

3. 用圖解微分法对函数曲綫 $S = S(t)$ 进行微分而作出速度圖綫 $V = V(t)$ 。

4. 对函数 $V = V(t)$ 进行圖解微分而作出加速度圖綫 $W = W(t)$ 。

5. 作 12 个速度圖解和 12 个加速度圖解以确定导杆速度和加速度的大小(模)。

6. 由运动圖綫和由速度与加速度圖解列出所得导杆的速度与加速度数据表。比較所得的結果, 并确定誤差的百分数。

7. 用圖解法由 $S = S(t)$, $V = V(t)$ 和 $W = W(t)$ 圖中消去时间 t 的参数, 而作出 $V = V(S)$ 和 $W = W(S)$ 圖綫。在作 $W = W(S)$ 圖綫时, 加速向上截取, 减速則向下截取。

附注: 在用作圖法的同时, 用分析法进行研究, 并比較其結果。

$$n = 300 \text{ 轉/分}; r = 81 \text{ 公里}; L = 255 \text{ 公里};$$

$$\epsilon = 17 \text{ 公里}; L_{AS} = 85 \text{ 公里}.$$

研究程序如下:

1. 确定机构各机件的 12 个位置和作出 B 点的位移圖綫 $S_B = S_B(t)$ 。

2. 由 1 个極点作 12 个速度圖解, 并作出 B 点的速度圖綫 $V_B = V_B(t)$ 。

3. 作 12 个加速度圖解和 B 点的 $W_B = W_B(t)$ 圖綫。

画机构圖所取的比例尺 $\mu_e = 0.002 \text{ 公尺/公厘}$ 。

表示 A 点速度的綫段 \bar{V}_a , 取它等子曲柄半徑 $\bar{r}_a = \frac{r}{\mu_e}$ 。
按公式 $\mu_o = \mu_e \cdot \alpha$ 确定速度比例尺。

表示 A 点加速度的綫段 $\bar{W}_a = \bar{W}'_a$, 取它等子 \bar{r}_1 。
按公式 $\mu_w = \mu_e \cdot \alpha^2$ 确定加速度比例尺。

用比例尺 $\mu_s = \mu_e$ 画出 $S_B = S_B(t)$ 。

分別用速度与加速度圖解的比例尺画出 $V_B = V_B(t)$ 和 $W_B = W_B(t)$ 圖綫。

在課程設計中, 这个課題的內容稍微增多了一些, 把机构的設計(綜合)內容包括进去了。

出柄-連杆机构的綜合設計, 多半用分析法或半圖解法来进行。

下面引用一个曲柄-連杆机构的綜合設計的例子。

已知:

$$H = 240 \text{ 公里}; \lambda = \frac{r}{L} = 0.32; k = \frac{\Phi_p}{\Phi_x} = 1.02.$$

要求确定 r , L 和 ϵ 。

确定角 Θ : $\Phi_p + \Phi_x = 360^\circ$,

$$\Phi_p = 360^\circ \cdot \frac{k}{k+1} = 360^\circ \cdot \frac{1.02}{1.02+1} = 181^\circ 51'$$

$$\Theta = \Phi_p - 180^\circ = 181^\circ 51' - 180^\circ = 1^\circ 51'.$$

确定 L 和 r 。

根据余弦定律由三角形 ORB' 得:

第 2 張 曲柄-連杆机构的运动研究

曲柄-連杆机构广泛地应用在蒸汽机、活塞式内燃机里(拖拉机、汽车、机車、压气机、鍛造机和其他机器)。

研究用的已知数据:

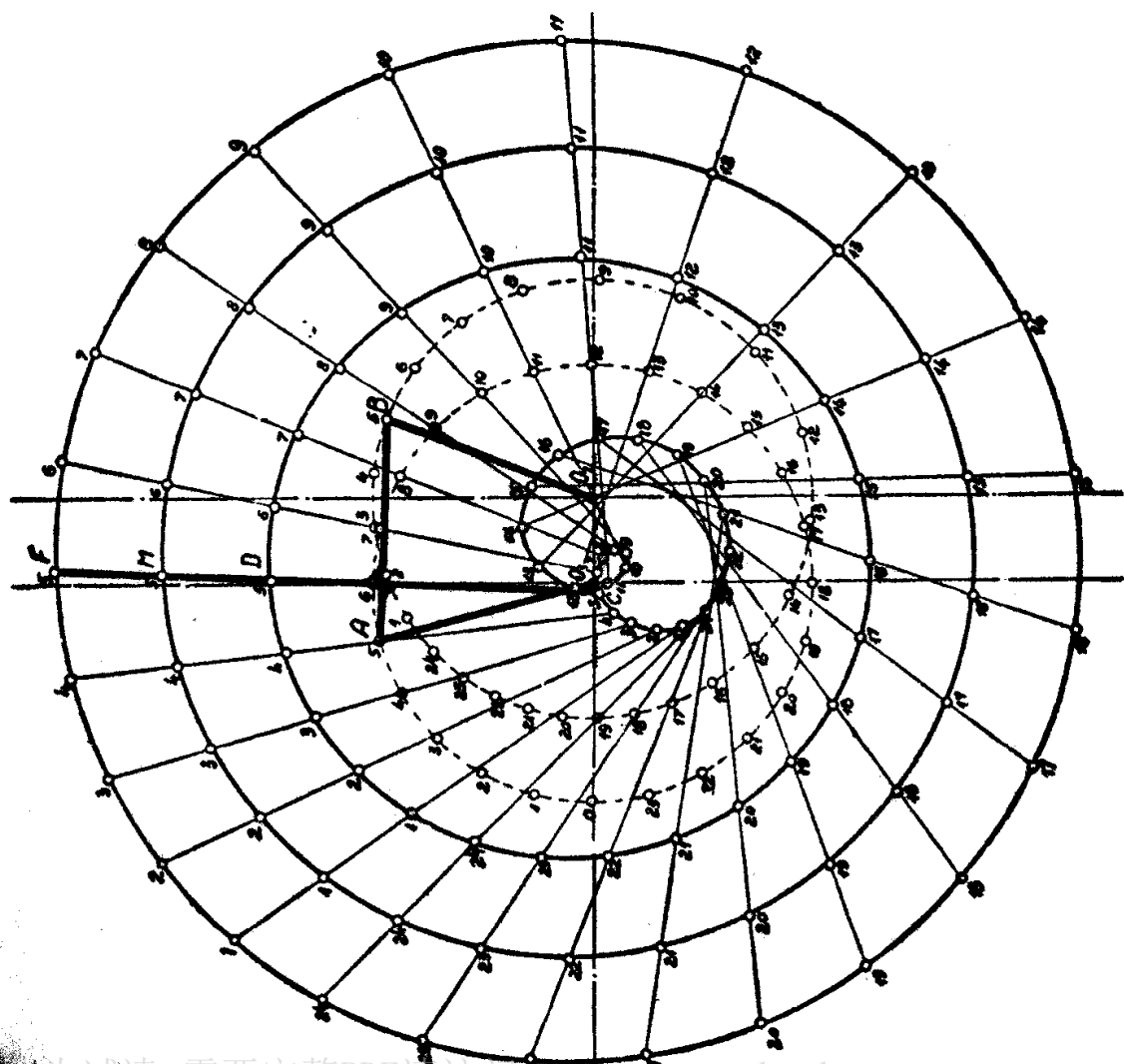


圖 1

$$H^2 = (L+r)^2 + (L-r)^2 - 2(L+r)(L-r)\cos\Theta_0$$

經過一系列的簡化和代入以后得到:

$$L^2 = \frac{H^2}{0.408} = \frac{240^2}{0.408} = 140000 \text{ 公厘}^2,$$

$$L = \sqrt{140000} \approx 374 \text{ 公厘}, L = 374 \text{ 公里};$$

$$r = \lambda L = 0.32 \times 374 = 119 \text{ 公里}, r = 119 \text{ 公里}.$$

確定偏距 e 。

根據正弦定律由三角形 OBM 找到:

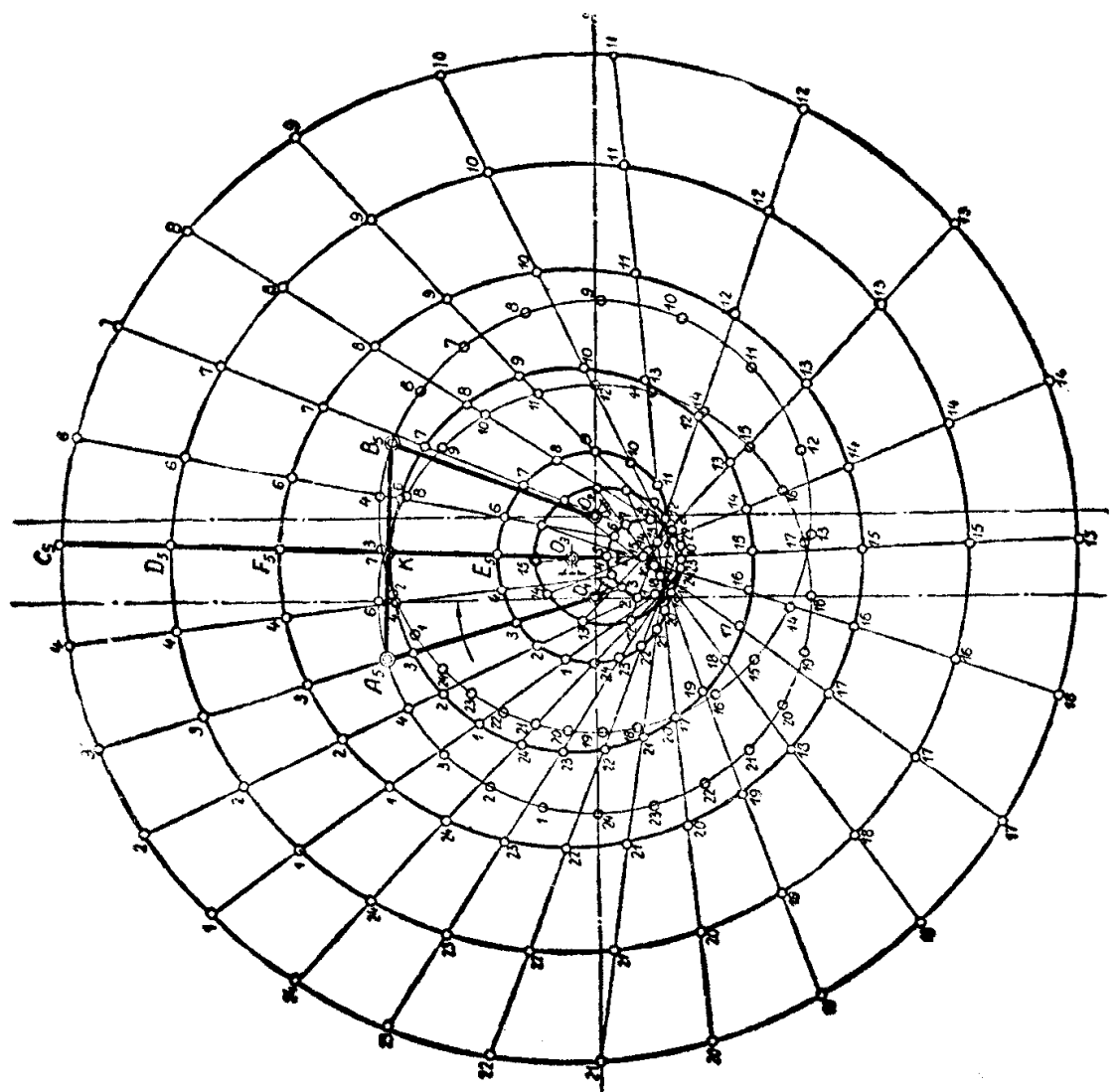


圖 2

$$\frac{H}{\sin\Theta} = \frac{L-r}{\sin\beta},$$

$$\sin\beta = \frac{(L-r)\sin\Theta}{H} = \frac{255\sin 1^{\circ}51'}{240} = 0.0342; \beta = 1^{\circ}50'.$$

由三角形 OBM . 偏距 $e = OM = (r+L)\sin\beta = 493\sin 1^{\circ}50' = 16.9$ 公里; $e = 16.9$ 公里。

轉動減慢的時候，梭子飛快的穿過開口。

這樣的機構，正如我們所知道的，是比較複雜的機構——搖動式（慣性）篩子、運輸機和其他機構的組成部分。

切貝歇夫院士早就注意到連杆曲線在某些部分完全地或部分地接近于圓弧和直線。在切貝歇夫院士的著作里引用了許多有趣的機構，這些機構都是他根據最佳近似函數的理論創造的。

圖 1、2 和 3 所示為連杆上各點的軌迹，其中有一部分在外表上和圓無區別。可以指出其他還有無勞多近似描圓的點。這個重要的情況，可以利用來組成多曲柄機構。某些連杆曲線的外形類似心形曲線。

由機械原理教程中知道，鏃接四杆機構的連杆曲線是 6 次曲線。

在第 3 張圖中對稱雙曲柄鏃接聯杆機構的運動研究是按照下列的数据：

$$n = 193.2 \text{ 轉/分}; r_1 = r_2 = L_{AB} = 100 \text{ 公厘};$$

$$L_{BD} = 50 \text{ 公厘}; L_{CD} = 85 \text{ 公厘}; L_{O_1 O_2} = 30 \text{ 公厘};$$

ω_1 = 常數。

研究程序如下：

1. 作機構的組成分析。
2. 用交迹法定機構的 16 個位置，並作出 C 点的連杆曲線。
3. 作 16 個速度圖解。
4. 求連杆曲線在 C_0, C_1, \dots, C_{16} 等點的曲率半徑，這裏我們看出，實際上可以確認曲率中心和從動曲柄迴轉中心 O_2 相重合。
5. 利用這種情況，用假定線作近似替代的機構。
6. 作 $V_C = V_C(t)$ 圖線。

第 3 張 四聯杆機構的運動研究

雙曲柄鏃接四杆機構應用得相當廣泛，它們可以用在當原動曲柄等速轉動而必須使從動件（曲柄 r_2 ）作不等速運動時，例如：
a) 在鏈式運輸機傳動裝置的調整機構中，用以使鏈得到等速的運動。
b) 在織布機的傳動裝置中為了使主軸得到不等速的運動。主軸

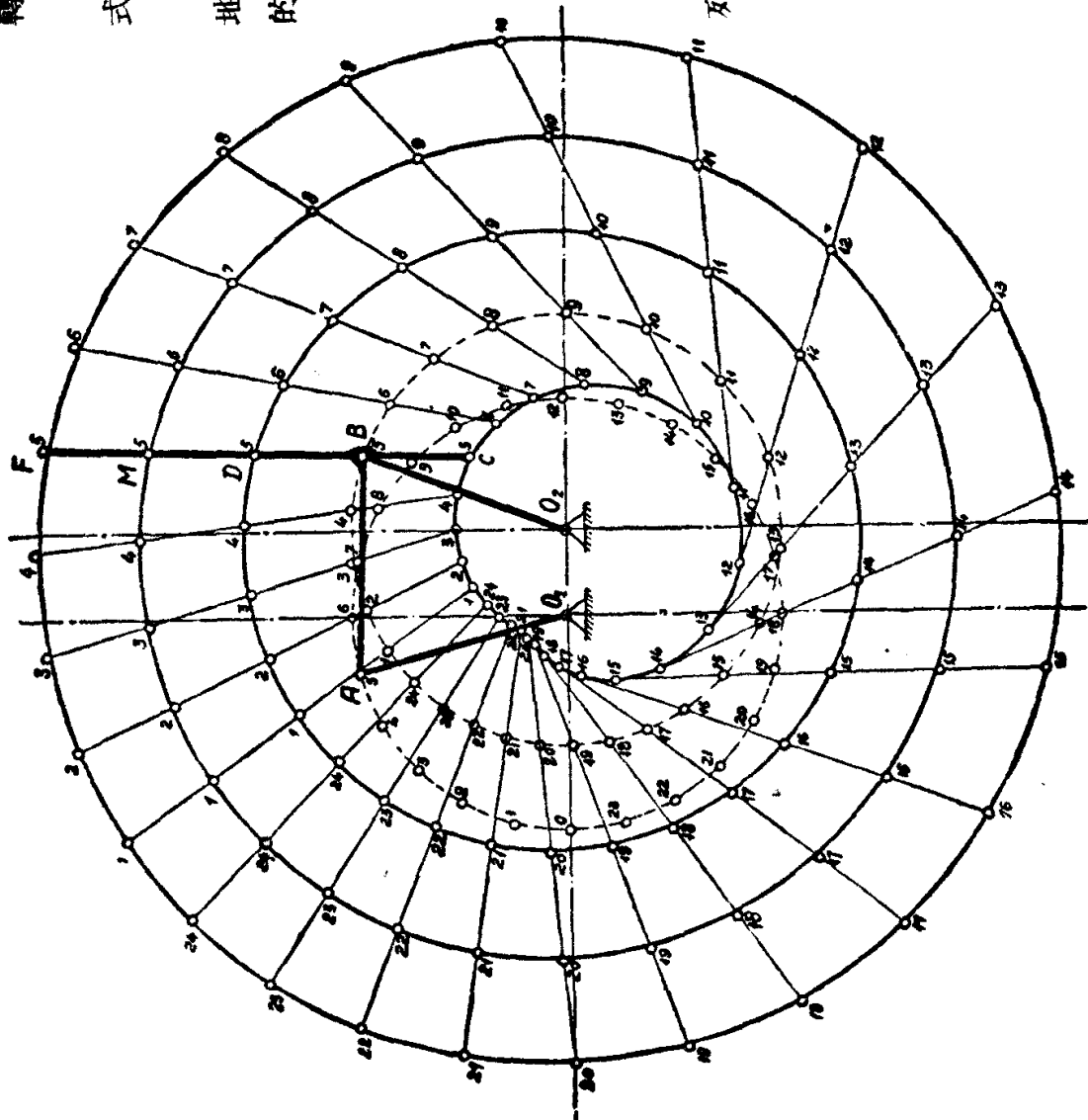


圖 3

9. 求 S, V 和 W^t 的大小，並把結果列成一表。
10. 作機構的第 1、第 9 和第 15 等三個位置的檢驗性的加速

度圖解，由此也求得 $W_B(t)$ 的大小，我們看到所得的結果和圖解微分的結果是接近一致的。

第 4 張 PIK-2M 型聯合采煤机中截杆橫向 送进机构的运动研究

截杆橫向送进机构（其运动簡圖如第 4 張圖中所示）由曲柄-連杆機構把固定件改換（即將滑塊固定）而成。

帶動截杆运动的机件 2，同时也是一个架子，傳动裝置固結在它上面，原动件是曲柄 AB （机件 1）。

在曲柄轉动时，曲柄銷 B 的运动不像一般那样在圓周上运动，而是沿直線运动，因此銷 A （主軸）和整个机件 OA 都作摆动。研究用的已知数据如下：

$$n_1 = 4 \text{ 轉/分}; L_{OA} = 750 \text{ 公厘}; L_{AB} = 250 \text{ 公厘}; \omega_1 = \text{常数}.$$

进行研究的程序如下：

1. 按照 B 点圍繞 A 点作相对运动的已知运动規律，曲柄的長度 L_{AB} 和 B 点及 A 点的絕對运动轨迹，確定机构中各机件的位置。借助曲柄 AB 的样板，移动它使得 A 点和 B 点（曲柄的兩端）在它們絕對运动的轨迹上滑动，这样可以标出 B 点和 A 点的轨迹。

要标出 B 点的轨迹，也可以利用机构轉化的方法。固定 B 点而松开 O 点，得到曲柄-連杆机构，这时 O 点的运动將与真实机构中 B 点的一样。

2. 作 12 个速度圖解并把所求的量列成表。这个机构速度圖解的作法特点，在于起始的量是迴轉速度 $V_{ba} = r_1 \omega_1 = \frac{\pi r_1 n_1}{30}$ ，而不是絕對速度 V_{b0} 。所以在極点外开始作速度圖解。

3. 作 B 点絕對运动的运动圖解。先作 $V_B = V_B(t)$ 圖解，然后分別对函数圖解 $V_B = V_B(t)$ 进行圖解微分和积分而得出 $W_B = W_B(t)$ 和 $S_B = S_B(t)$ 圖解。

4. 作机件 2 的运动圖解。首先作角速度圖解 $\omega_2 = \omega_2(t)$ ，然后分

別用圖解法积分和微分函数 $\omega_2 = \omega_2(t)$ ，得 $\Phi_2 = \Phi_2(t)$ 和 $\epsilon_2 = \epsilon_2(t)$ 圖解。

5. 作 1~6 个加速度圖解，求出 W_B 和 ϵ_2 的数值，並找出用兩种方法所得結果的誤差。

根据 B 点圍繞 A 点的相对运动加速度 W_{ba} 作加速度圖解， W_{ba} 預先按下式算出：

$$W_{ba} = W''_{ba} = \frac{V_{ba}^2}{L_{BA}}.$$

首先作綫段 $\overline{W}_{ba} = \overline{ba}$ ，然后決定加速度圖解中極点的位置。

第 5 張 四联杆机构的設計和研究

为設計（綜合）和后面研究用的已知数据如下：

1. 原动件和从动件轉軸間的距離 $L_{O_1 O_2} = 860$ 公厘。
2. 摆杆的長度 $L_{O_2 B} = 600$ 公厘。
3. 摆杆在最左边的位置时对中心綫 $O_1 O_2$ 的傾斜角 $\beta = 65^\circ$ 。
4. 速度变化系数 $k = \frac{\Phi_p}{\Phi_x} = 1.2$ 。
5. 轉速 $n = 180$ 轉/分。
6. 曲柄的角速度 $\omega_1 = \text{常数}$ 。

要求：

1. 确定曲柄和連杆的尺寸 r 和 L 。
2. 作机构的 12 个位置圖。
3. 作 12 个速度圖解。
4. 作从动件（摆杆）的角速度圖解 $\Phi_3 = \Phi_3(t)$ 。
5. 积分和微分用圖解表示的函数 $\Phi_3 = \Phi_3(t)$ ，由此得同一机件（从动件）的角位移圖解 $\varphi_3 = \varphi_3(t)$ 和角加速度圖解 $\epsilon_3 = \epsilon_3(t)$ 。
6. 作兩個檢驗性的加速度圖解。

a) 选择長度比例尺 $M 1:10$ 并在所画的直線上截取一段距离 $O_1 O_2$ 。

6) 从点 O_2 用半径 O_2B 画 B 点的轨迹，并按已知角度 β 画摆杆的

极限位置 $O_2B'_0$ 。

b) 用直綫 B'_0O_1 联接 B'_0 点和 O_1 点，这就定出当摆杆在最左边的位置时连杆所在的位置，并且 $O_1R'_0 = l - r$ 。

$$\text{r) 确定角 } \Theta = \frac{180^\circ(k-1)}{k+1} = \frac{180^\circ(1.2-1)}{1.2+1} = 162^\circ 21'.$$

d) 引直綫 $O_1B'_0$ 与直綫 $O_1B'_0$ 成 Θ 角，于是就找到当摆杆在最右边的位置时连杆所在的位置；这时 $O_1B''_0 = L + r$ 。差数 $O_1B''_0 - O_1B'_0 = L + r - L + r = 2r$ 。

e) 求出曲柄的半径 $r = 215$ 公里；并由 O_1 点画圆—— A 点的轨迹。

ж) 其次，由圖确定連杆的長度 $L = 1030$ 公里。

根据已知尺寸求出未知尺寸后，就在規定的程序下开始进行运动研究。

确定 A 点的圓周速度。

$$V_a = r\omega_1 = r \cdot \frac{\pi n}{30} = 0.215 \times \frac{3.14 \times 180}{30} = 0.215 \times 18.84 \\ = 4.05 \text{ 公尺/秒}.$$

按下式計算速度比例尺：

$$\mu_v = \frac{V_a}{V_D} = \frac{4.05}{30} = 0.134 \text{ 公尺·秒}^{-1}/\text{公里}.$$

在作 $\omega_3 = \omega_3(t)$ 圖綫時，表示角速度 ω_3 的綫段，取它等于表示綫速度 V_b 的綫段，也就是 $\overline{\omega}_3 = \overline{V}_b$ 。因此角速度比例尺等于

$$\mu_\omega = \frac{\mu_v}{L_{O_2B}} = \frac{0.134}{0.6} = 0.225 \text{ 弧度·秒}^{-1}/\text{公里}.$$

也可以把 $\omega_3 = \omega_3(t)$ 、 $\varphi_3 = \varphi_3(t)$ 及 $\varepsilon_3 = \varepsilon_3(t)$ 等圖綫看作是 $V_B = V_B(t)$ 、 $S_B = S_B(t)$ 及 $W_B^t = W_B^t(t)$ 等圖綫，不过比例尺不同而已。比例尺 μ_φ 和 μ_ε 按下式确定：

$$\mu_\varphi = \mu_\omega \mu_t k_1, \quad \mu_\varepsilon = \frac{\mu_\omega}{\mu_t k_2}.$$

比例尺 $\mu_t = \frac{T}{T} = \frac{0.33}{120} = 0.00275 \text{ 秒/公里}$ ；

$$T = \frac{60}{n} = \frac{60}{180} = \frac{1}{3} \text{ 秒}.$$

取極距 $k_1 = k_2 = 30$ 公里；

$$\mu_\varphi = 0.225 \times 0.00275 \times 30 = 0.0181 \text{ 弧度/公里};$$

$$\mu_t = \frac{0.225}{0.00275 \times 30} = 2.77 \text{ 弧度·秒}^{-2}/\text{公里}.$$

求 A 点的加速度：

$$W_a = W_a^n = \frac{V_a^2}{r} = \frac{4.05^2}{0.215} = 76.2 \text{ 公尺/秒}^2;$$

$$\mu_w = \frac{W_a}{W_a} = \frac{76.2}{45.5} = 1.69 \text{ 公尺·秒}^{-2}/\text{公里}.$$

求摆杆在最左边的位置时的加速度 W_{ba}^n ：

$$V_{ba} = b_a \mu_v = 30 \times 0.134 = 4.05 \text{ 公尺/秒} = V_a;$$

$$W_{ba}^n = \frac{V_{ba}^2}{L} = \frac{4.05^2}{1.030} = 16.4 \text{ 公尺/秒}^2;$$

$$W_{ba}^n = \frac{W_{ba}}{\mu_w} = \frac{16.4}{1.69} = 9.72 \text{ 公里};$$

$$W_b = \overline{W}_b \mu_w,$$

第 6 張 联杆机构的设计和研究

已知数据列于图中。作业进行的程序如下：

1. 用图解法积分给出的函数图綫 $W_D = W_D(t)$ ，作 D 点的速度图綫 $V_D = V_D(t)$ 和位移图綫 $S_D = S_D(t)$ 。
2. 根据 $S_D = S_D(t)$ 图綫标出 D 点的动路，确定它的 12 个位置。

3. 根据这样给出的 D 点的 12 个位置（也就是从部件的位置），又根据给出的或选择的構造尺寸 L_{O_2C} 、 L_{O_2B} 和 L_{AB} ，作机构的简图，也就是确定 r_1 、 X_{O_2} 和 Y_{O_2} 的尺寸。
4. 在确定了这些尺寸以后，就按通常的程序着手研究已經設計好的机构，那就是：

- a) 确定机构中各件的 12 个位置；

- 6) 作出 12 个速度图解；

- b) 作 D 点的速度图綫 $V_D = V_D(t)$ ，并以图解微分法和圖解积分法

● 有关这种综合方法的詳細情形可參看第 7 张中第 5 頁的「和 K」。

法作出加速度圖線 $V_D = V_D(t)$ 和位移圖線 $S_D = S_D(t)$;

r) 作機構兩個位置的檢驗性的加速度圖解。

第 7 張 六聯杆機構(搖篩)的設計

已知數據列于圖中。作業進行的程序如下：

1. 画出需要設計的機構簡圖，并寫出已知量。

2. 画出從動件(D 点)的給定的[合理的]加速度圖線；或為了使搖篩(或搬運機)的生產率在容許的加速(減速)下尽可能提高一些，从這一點出發而選擇一個加速度圖線也可以。正加速度 V_{max} 不應該超過臨界加速度 $V_0 = f_0 \cdot g$ ，而負加速度應該比 V_0 大些，但是不要過大，以免發生強烈的動力影響($-V_{max} \leq 6 \sim 10$ 公尺/秒²)。

3. 用按面積或極距的圖解積分法作槽式搬運機(或搖篩)的速度圖線 $V_D = V_D(t)$ 和位移圖線 $S_D = S_D(t)$ 。

4. 作物料的速度圖線(詳細情形可參看第 98 頁)。根據陰影面積 Ω 計算它在一轉內的位移 $S_{\text{物料}} = \Omega \mu_0 \mu_t$ 。

把得到的結果拿來和現有相似類型的機構的特性數據比較一下。

5. 再如圖上所指出的那樣確定 r_1 、 a 和 b ，也就是：

a) 按 $S_D = S_D(t)$ 圖線標出 D 点的動路；

b) 用樣板標出 C 点的動路；

c) 标出 B 点的動路；

r) 分別由 $B_0, B_1, B_2, \dots, B_{12}$ 等點以半徑 AB 画圓弧，這就是 A 点的几何位置；

d) 取透明樣板一塊，板上刻有許多同心圓，分做 12 等分，拿來放在圖上移動，要在樣板上找一個圓，它能有尽可能多的點落在先前所畫的圓弧上。在 12 個點中可以做到有 9 個或者更多的點符合。

e) 適當地選擇合理的圖線並適當地加以綜合設計，那末所設計出機構的生產率可以比現有機構高到兩倍甚至更多。

機構從動件的[合理的](理想的)運動圖線要根據機構的用途來

選擇。

就刮板式搬運機上或板片式搬運機上(有很多長的鏈節)傳動裝置的調整機構來說，合理的圖線是以保持鏈的速度不變，鏈常數(加速度 $V_{\text{鏈}} \approx 0$)為條件選出的，這樣可以減輕鏈上的動力載荷，這些動力載荷在鏈輪齒數少和鏈節長時是特別可觀的。

在織布機的傳動裝置里，合理的圖線應該預先考慮到主軸轉動的不均勻性。這是為了當梭子正巧飛過開口的時候轉動應該減慢的關係，因為梭子需要平穩的飛過開口。

對搖動式(慣性)運輸機和篩子來說，合理的圖線應該能保證有高的生產率和比較小的動力影響。

對牛頭刨床和插床來說，合理的圖線應該保証工作行程的速度不變，這是根據切削工藝的觀點所希望的。

在每一個具體情況下，設計師應根據所設計機構的技術條件來選擇合理的圖線。

第 8 張 已設計出的六聯杆機構的運動研究

這張圖是上一張圖的延續。研究的程序和內容從圖上看得很清楚，故不再加敘述。

第 9 張 八聯杆機構的運動研究

研究的程序如下：

1. 作機構的 12 個位置圖；作 A, B, M, E, H, K 和 D 点的軌迹，並標出它們在動路上的 12 個位置。長度比例尺 $\mu_e = 0.01$ 公尺/公厘。

2. 用比例尺 $\mu_v = \mu_e \omega_0$ 作 12 個迴轉速度圖解。

3. 用比例尺 $\mu_w = \mu_e \omega_0^2$ 作 12 個加速度圖解。

4. 根據 B 点和 H 点軌迹的標記作它們的位移圖線 $S_B = S_B(t)$ 和 $S_H = S_H(t)$ ，比例尺 $\mu_s = \mu_e = 0.01$ 公尺/公厘。

5. 根據速度圖解的数据作速度圖線 $V_B = V_B(t)$ 和 $V_H = V_H(t)$ ，比

例尺 $\mu_2 = 0.1595$ 公尺·秒 $^{-1}$ /公里。

6. 根据加速度圖解的数据作 B 点和 H 点的加速度圖線 $W_B = W_H(t)$ ，比例尺 $\mu_2 = 2.41$ 公尺·秒 $^{-2}$ /公里。

7. 比較用兩種方法所得滑塊 B 的速度和加速度大小。
 $W_B(t)$ 和 $W_H(t)$ ，比例尺 $\mu_2 = 2.41$ 公尺·秒 $^{-2}$ /公里。

第 10 張 导杆作等速迴轉的运输机机构

的运动研究

在第 10 張圖中示出了作業的圖解部分。下面是計算說明部分。

分。

苏联高等教育部

应用力学教研室

学院

机械原理課題的計算說明書。題目：[导杆作等速迴轉的运输机构的运动研究]。

完成者 _____
指导者 _____

課 题

已知：

机构的簡圖和下列參數：

$$r_1 = L_1 = 80 \text{ 公里}; r_3 = L_3 = 60 \text{ 公里};$$

$$L_{O_1 O_2} = 24 \text{ 公里}; L_{AB} = L_5 = 300 \text{ 公里};$$

$$L_{AD} = 150 \text{ 公里}; Y_{O_2} = 0; n = 60 \text{ 轉/分}; \omega_1 = \text{常数}.$$

要求：

1. 作机构的組成分析。
2. 作机构的 12 个位置圖。
3. 作 D 点的連杆曲線，然后在机构的第 4 个位置決定它的曲率半徑 ρ_D 。
4. 作机构在 0、3、4 和 6 等位置的加速度圖解。
5. 作上述机构位置的加速度圖解。
6. 作滑塊 B 的运动圖線。

$S_B = S_B(t)$; $V_B = V_B(t)$; $V_B = V_B(S)$; 和 $W_B = W_B(t)$ 。
按照阿蘇爾的規定，曲柄 1 和机架 4 組成 I 級第 1 型的原始机构。在原始机构上依次连接兩個組 2~3 和 5~6 (二支的 I 級第 2 型組)。

因此，按照阿蘇爾的規定是 I 級第 2 型机构，或按照阿尔托鮑列夫斯基院士的分类是 II 級第 2 型机构。

根据切貝歇夫的組成公式確定机构的能効度：

$$W' = 3n - 2p_3 - p_4,$$

式中 $n = 5, p_3 = 7, p_4 = 0$ 。

$$W' = 3 \times 5 - 2 \times 7 = 1.$$

机构各机件位置的确定

1. 选择長度比例尺 $\mu_1 = 0.002$ 公尺/公里，在圖上定出 O_1 和 O_2 两点(机件 1 和 3 的轉軸)，并标出滑塊上 B 点的軌迹 XX_0 。

2. 确定 B 点的極限位置，由 O_2 点用 $L_5 - r_3$ 和 $L_5 + r_3$ 为半徑作圆弧和軌迹 XX 相交即得。

3. 确定导杆 1 和从动曲柄 3 的左極限位置，并采用作为零位置。

4. 把以 r_1 为半徑的圓周划分为 12 等份，并标出导杆 1 的 12 个位置(C 点軌迹的標記)。

5. 标出 A 点的 12 个位置，此即机件 1 和 A 点軌迹的交点(A 点軌迹的標記)。

6. 用交迹法标出 B 点的軌迹，即确定滑塊上 B 点的 12 个位置。

7. 确定連杆上 D 点的 12 个位置，并連成光滑曲綫；这就是 D 点的連杆曲綫。

● 下述計算說明書內容，可以作为本文部分的样子，放在詳圖的右边。草圖放在左边。

滑塊上 B 点的运动圖線

A 点在机件 1 上滑动), 并且 A₁ 点的圓周速度也是变化的。

画机构 4 个位置的速度圖解。

1. 画兩直角坐标軸。
2. 截綫段 $\overline{T} = 120$ 公厘表示运动周期 T(秒), 比例尺为 μ_t 。
3. 确定時間比例尺 $\mu_t = \frac{T}{\overline{T}}$,

$$\text{式中 } T = \frac{60}{n} = \frac{60}{60} = 1 \text{ 秒}, \quad \mu_t = \frac{1}{120} = 0.0083 \text{ 秒/公厘}.$$

4. 选择位移比例尺 $\mu_s = \mu_e = 0.002$ 公尺/公厘。

5. 取 B₀ 点的零位置作計算位移的起点, 作 $S_B = S_B(t)$ 圖綫。

6. 用圖解法微分函数 $S_B = S_B(t)$ 作出速度圖綫 $V_B = V_B(t)$ 。假定往后在作速度圖解时用比例尺 $\mu_v = \mu_e \omega_1$,

式中

$$\mu_e = 0.002 \text{ 公尺/公厘}$$

$$\mu_1 = \frac{\pi n}{30} = \frac{3.14 \times 60}{30} = 6.28 \text{ 秒}^{-1},$$

$$\mu_v = 0.002 \times 6.28 = 0.01256 \text{ 公尺}\cdot\text{秒}^{-1}/\text{公厘}.$$

又因希望在 $V_B = V_B(t)$ 圖綫上能用同一比例尺得到 B 点的速度, 我們定極距

$$k_1 = \frac{\mu_s}{\mu_v \mu_t} = \frac{0.002}{0.01256 \times 0.0083} = 19.2 \text{ 公厘}.$$

7. 用圖解法微分函数 $V_B = V_B(t)$, 而作出加速度圖綫 $W_B = W_B(t)$ 。假定往后在作加速度圖解时用比例尺 $\mu_w = \mu_e \omega_1^2 = 0.01256 \times 6.28^2 = 0.079$ 公尺·秒⁻²/公厘, 并要在加速度圖綫圖上用同一比例尺得到 B 点的加速度, 我們定極距

$$k_2 = -\frac{\mu_v}{\mu_e \mu_t} = \frac{0.01256}{0.079 \times 0.0083} = 19.15 \text{ 公厘}.$$

8. 檢驗一下函数 $S_B = S_B(t)$ 为最大时是否与函数 $V_B = V_B(t)$ 为零的那点相对应。

9. 根据 $V_B = V_B(t)$ 圖綫作 $V_B = V_B(S_B)$ 圖綫。

速度圖解

作速度圖解时应当注意在机构运转时, 距离 O_1A 是变化的(因为

- 取曲柄半徑在圖上的長度 $r_1 = \overline{O_1A_1}$ 作为 A 点速度在圖上的長度 \overline{V}_{a_1} , 也就是說, $\overline{V}_{a_1} = r_1 = \overline{O_1A_1}$ 是变化的。按照公式 $\mu_v = \mu_e \omega_1$ 确定速度比例尺, 也就是早已計算的, $\mu_v = 0.01256$ 公尺·秒⁻¹/公厘。

零位置的速度圖解

- 在零位置时, 导杆 1 和曲柄 3 重合。导杆上 A_1 点的絕對速度 \overrightarrow{V}_{a_1} 是曲柄上 A 点的牽連速度, $\overrightarrow{V}_a = \overrightarrow{V}_{a_3} = \overrightarrow{V}_{a_1} + \overrightarrow{V}_{a_3 a_1}$ 在这个位置速度 V_{a_3} 和 V_{a_1} 的方向一致, 因此 $V_{a_3 a_1} = 0$, $\overrightarrow{V}_{a_3} = \overrightarrow{V}_{a_1}$

A 点絕對速度的大小(模)

$$\overrightarrow{V}_{a_1} = \overrightarrow{V}_{a_1} \mu_v = 18 \times 0.01256 = 0.226 \text{ 公尺/秒}.$$

$$\overrightarrow{V}_a = O_1 A$$
 是我們由圖上指出來的。B 点的絕對速度 $\overrightarrow{V}_b = \overrightarrow{V}_a + \overrightarrow{V}_{ba}$ 因为連杆和曲柄重合, 那么速度 V_a 和 V_{ba} 的方向也一致, 因此, $V_b = 0$, $\overrightarrow{V}_{ba} = \overrightarrow{V}_{a_0}$

第 3 位置的速度圖解

- A 点的絕對速度 $\overrightarrow{V}_a = \overrightarrow{V}_{a_1} + \overrightarrow{V}_{aa_1}$ (或 V 絶對 = \overrightarrow{V} 庫連 + \overrightarrow{V} 相對), 式中 V_{aa_1} 和 $V_{a_1 a_0}$ 的方向已知, 而牽連速度 V_{a_1} 既知其大小, 又知其方向。
 $\overrightarrow{V}_{a_1} = O_1 A = 27.5$ 公厘, $V_{a_1} = \overline{V}_{a_1} \mu_v = 27.5 \times 0.01256$

$$= 0.346 \text{ 公尺/秒}.$$

作出速度圖解后, 得: $\overrightarrow{V}_a = 30$ 公厘和 $\overline{V}_{aa_1} = 12.5$ 公厘。因此,

$$\overrightarrow{V}_a = \overrightarrow{V}_{aa_1} \mu_v = 30 \times 0.01256 = 0.36 \text{ 公尺/秒},$$

$$\overrightarrow{V}_{aa_1} = \overrightarrow{V}_{a_1 a_0} \mu_v = 12.5 \times 0.01256 = 0.15 \text{ 公尺/秒}.$$

- 用圖解法解向量方程式 $\overrightarrow{V}_b = \overrightarrow{V}_a + \overrightarrow{V}_{ba}$ 以確定 B 点的絕對速度, 式中 \overrightarrow{V}_b 和 \overrightarrow{V}_{ba} 的方向是已知的, $\overrightarrow{V}_b \perp XY$, 而 $\overrightarrow{V}_{ba} \perp AB$ 。

由圖解的结果求出: $\overline{V}_b = 25$ 公厘、 $\overline{V}_{ba} = 12.75$ 公厘。因此,

$$\overrightarrow{V}_b = \overrightarrow{V}_b \mu_v = 25 \times 0.01256 = 0.314 \text{ 公尺/秒},$$